

建設省土木研究所 正員○田原保二 福岡正巳

大阪市内淀川下流阪神電鉄本線新淀川橋梁は明治36年施工のものであつて、上部構造支間31.09mワーレントラス2連 31.24mワーレントラス20連は、昭和23年から同25年の間に溶接補強を行つたものであるが、下部については、その復元キヨ式石積中込めコンクリート橋脚の石積目地切れ箸といふ橋脚に対し、厚さ15cmの鉄筋コンクリート補強被覆を施工してその安全を計つてゐるに止まり、木群杭基礎については何等の補強を行わず今日に至つてはいる。しかる現地の基礎地盤は所謂軟弱冲積層であつて、河床より約30mに至つてはじめて荒砂内至は砂利層が認められた。しかしてその間の冲積層は大別して3種の地層に分類され、低水敷部橋脚No.12と高水敷部橋脚No.19とで、これら等の地層と基礎底面及び杭の下端との関係はほど同じ状態にあつて、これら基礎は完全な摩擦杭基礎として設計されており、杭端より、荒砂内至は砂利層に至る12~17mの軟弱層の長年月に亘る圧密により、橋梁は著しい沈下を示し、橋梁の嵩上げ工事が要請されている。著者等は現橋脚の嵩上げを行つた場合、その地震時耐荷力の安全性を判定するため若干の現地調査試験を行つたのであるが、この報告をその一部を紹介するものである。すなわち、シンウォーラサンブラーによる基礎部の土質試験、スエーデン式貫入試験機による貫入抵抗試験、更に特殊な装置の考案に基く地中各層のK-値を直接測定する試験機とのK-値測定試験を行つて、これらの実測値相互の相関を検討し、その結果により各層の固有のK-値を推定し、この値を用ひて、地震時ににおける橋脚及び嵩上げ後における橋脚の振動性状と橋脚全体各部、基礎杭の応力、地盤の水平支持力の安全性を計算し、更に現状橋脚について、橋脚の固有振動周期を計算し、その結果と現場における実験によって得られた結果を比較検算し、測定K-値の妥当性を確認する様努めたものである。

図-1

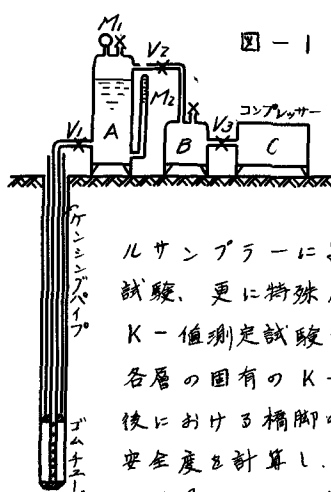
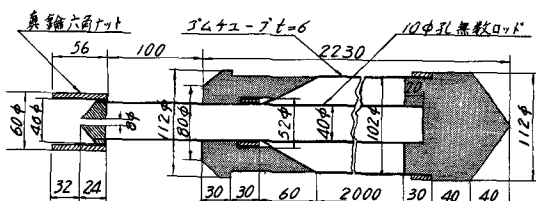


図-1はK-値測定試験装置の原理を示すものであつて、地中のボーリング孔内に挿入するゴムチューブ（図-2参照）を主体とした部分、圧力水を送るタンクA、圧縮空気を貯えるタンクB及びコンプレッサーからなる。ゴムチューブ内に圧力水を送ると、ゴムチューブは膨脹し、ボーリング孔をその周辺に沿つて圧する。この場合ゴムチューブ内の圧力は、マノメーターM1によって示される。空気圧とタンクAの側方に設けられた水位計M2によって示される自然水圧の差によつて計量される。この内圧からゴムチューブの弾性による圧力を差引いたものが外圧として、ボーリング孔壁に加わるものである。一方ゴムチューブの半径膨脹量は水位計M2の変化によつて読み取ることが出来る。

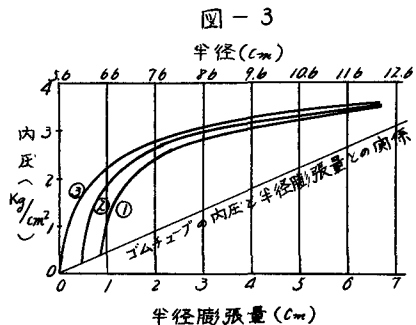
図-2



及びコンプレッサーからなる。ゴムチューブ内に圧力水を送ると、ゴムチューブは膨脹し、ボーリング孔をその周辺に沿つて圧する。この場合ゴムチューブ内の圧力は、マノメーターM1によって示される。空気圧とタンクAの側方に設けられた水位計M2によって示される自然水圧の差によつて計量される。この内圧からゴムチューブの弾性による圧力を差引いたものが外圧として、ボーリング孔壁に加わるものである。一方ゴムチューブの半径膨脹量は水位計M2の変化によつて読み取ることが出来る。

B-37

半径膨脹量に対応する外圧を承知すれば K 一値が求まる。実際の測定に当っては空気圧を 0.5 気圧づゝ階段的に加圧しつゝこの操作を繰返し、2~3 気圧まで上げた後、逆に 0.5 気圧づゝ階段的に減圧の操作を行つて元の 0 にかえした。図-3 はこの様な試験により得られたゴムチューブの半径増加量と、タンク A の気圧の増加量の関係と、ゴムチューブ固有の弾性による半径増加量と、そのときの所要圧の関係を併記したものである。この結果から結局ゴムチューブの半径増加量とボーリング孔壁にかかる外圧との関係が分かった。図-3 に現われた外圧の極大値は、ボーリング孔周辺の土が抗力を失ひ破壊または流動の状態に至った限界を示すものである。



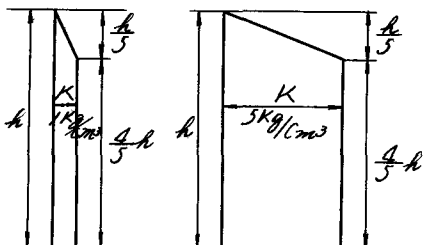
①, ②, ③ は内圧が $0.4 \text{ kg}/\text{cm}^2$ に当つたときの孔の半径をすれば、ゴムチューブの外径がそれぞれ 5.6 cm , 6.05 cm , 6.5 cm の場合の内外圧と半径膨脹量の関係を示す

ハグレに 1 もり多く我々が必要とする K 一値としては、上記の極限に至るまでの弾性域で、半径増加量の少い初期の加圧状態について推定すれば足りるのであって、この様な見解から地表下 10 m

附近での K 一値は $1 \sim 5 \text{ kg}/\text{cm}^2$ 、最大値 $3.4 \text{ kg}/\text{cm}^2$ と推定されたが、その深さに沿つた各層での分布状態は、残念ながら試験資料不足のため確認出来なかつた。しかし一般的の傾向として K 一値は寧ろ土質と非常に深い関係があり、土質にかゝわらずに単純に深さと共に増加するといふことはない様にうかがえた。従つて今の場合 K 一値の推定を $1 \text{ kg}/\text{cm}^2$ 及び $5 \text{ kg}/\text{cm}^2$ の 2 種とし、その分布を単純に図-4 の如く假定し、Rayleigh 法による反力載荷法を用いて計算した現状橋脚 No.12 についての固有振動周期を求め、現場における実測固有振動周期と比較すると、表-1 の如く、両者は極めてよく合致した。また No.12, No.19 橋脚について從来よ

図-4

表-1



$w/t/m$	$K/1\text{kg}/\text{cm}^2$	$K/5\text{kg}/\text{cm}^2$	実測
0.0	0.650	0.601	0.50
1.0	0.654	0.662	0.60
1.6	0.660	0.664	

によって、水平地震度を $= 0.3$ として、地盤の最大反力、杭の最大曲げモーメント、杭の最大せん断力を求め、夫々の値を表-2 に示した。これによれば明らかに Engel 氏法では K 一値の実測による厳密計算法に比し、構造物に対してや、安全側の応力を地盤に対してはや、不安全側の土圧を示すものと云えよう。特にこの場合の実側 K 一値が静的なものであり、動的には更に大きな値を示す傾向にあることを考慮すれば上表の結果は注目に価する。

表-2

底力	地盤反力 kg/cm^2	曲げモーメント $t-m$	せん断力 t			
橋脚番号	No.12	No.19	No.12	No.19	No.12	No.19
Engel 法	0.744	0.703	95.6	45.0	190	125
$K=1\text{kg}/\text{cm}^2$	1.05	0.98	88.2	40.5	151	99
$K=5\text{kg}/\text{cm}^2$	1.34	1.10	85.5	40.0	142	98